

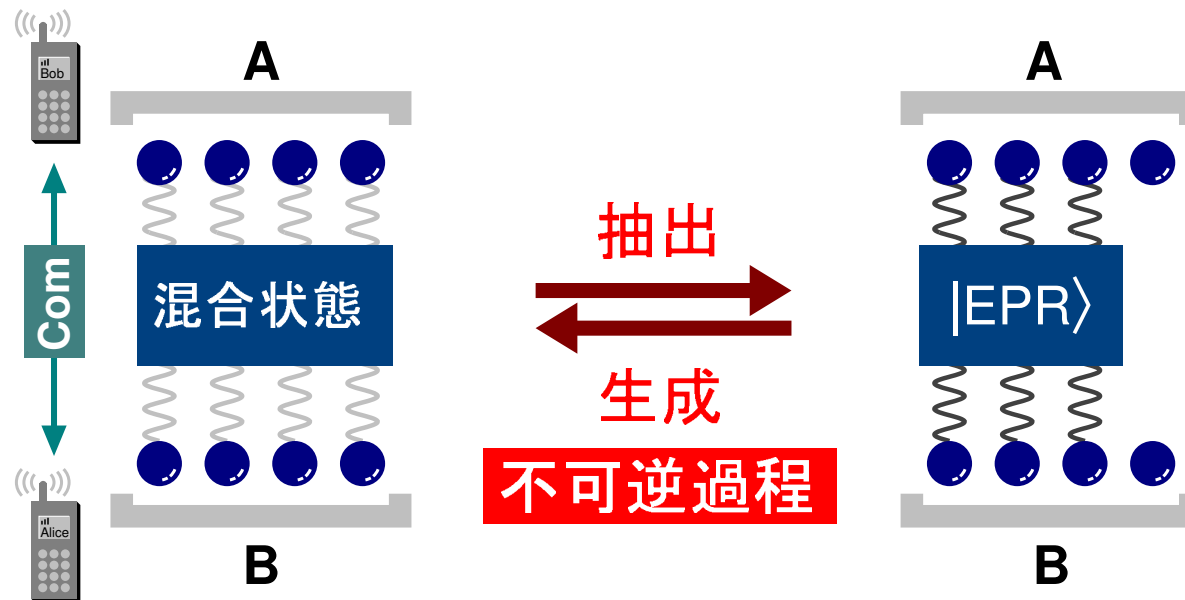
Outline

1. 基本的なコンセプト
 2. 局所操作と古典通信 (LOCC)
 3. エンタングルメントの定量化
 4. 混合状態のエンタングルメント
-
5. 混合状態のエンタングルメント操作
 6. 束縛エンタングルメント
 7. エンタングルメント測度
 8. 多者間エンタングルメント

5. 混合状態のエンタングルメント操作

純粋状態との大きな違い

混合状態の LOCC 操作



混合状態:

$$\text{EPR}^{\otimes n E_C} \longrightarrow \sigma^{\otimes n} \longrightarrow \text{EPR}^{\otimes n E_D}$$

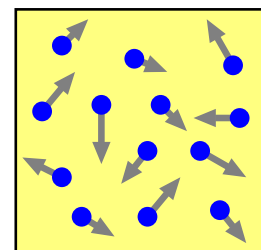
$$E_C > E_D$$

純粋状態:

$$\text{EPR}^{\otimes n S_A} \longrightarrow |\psi\rangle^{\otimes n} \longrightarrow \text{EPR}^{\otimes n S_A}$$

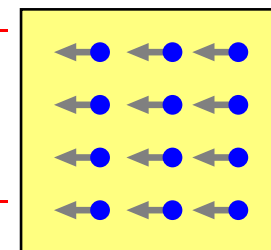
可逆過程

$$E_C - E_D = \text{束縛エンタングルメント}$$



自由エネルギー
 $F = U - TS$

内部エネルギー
 U



状態生成とエンタングルメント蒸留

- 状態生成: $\text{EPR}^{\otimes n} \xrightarrow{\text{LOCC}} \sigma^{\otimes n}$

$E_C \dots$ エンタングルメント・コスト

定理: [Yang, et.al. 2005]

$$\sigma \text{ はエンタングル状態} \Leftrightarrow E_C > 0$$

σ の形によるエンタングルメントの定義は LOCC と整合

- EPR 抽出: $\sigma^{\otimes n} \xrightarrow{\text{LOCC}} \text{EPR}^{\otimes n}$

$E_D \dots$ 蒸留エンタングルメント

ペレス判定法と蒸留: [Horodecki 1998]

$$\sigma^{T_A} \geq 0 \Rightarrow \sigma \text{ のエンタングルメント蒸留は不可能}$$

縮約判定法と蒸留: [Horodecki 1999]

$$I_A \otimes \sigma_B - \sigma \not\geq 0 \Rightarrow \sigma \text{ のエンタングルメント蒸留は可能}$$

LOCC とペレス判定法

(1) A が測定 $\{a_k\}$ を行い i の結果を得る

$$\sigma_i = (a_i \otimes I)\sigma(a_i^\dagger \otimes I)$$

(2) B が i に依存した測定 $\{b(i)_k\}$ を行い j の結果を得る

$$\sigma_{ij} = (I \otimes b(i)_j)\sigma_i(I \otimes b(i)_j^\dagger) = (a_i \otimes b(i)_j)\sigma(a_i^\dagger \otimes b(i)_j^\dagger)$$

(3) ... この繰り返し...

- LOCC の状態変換の一般形

$$\sigma_k = (A_k \otimes B_k)\sigma(A_k^\dagger \otimes B_k^\dagger)$$

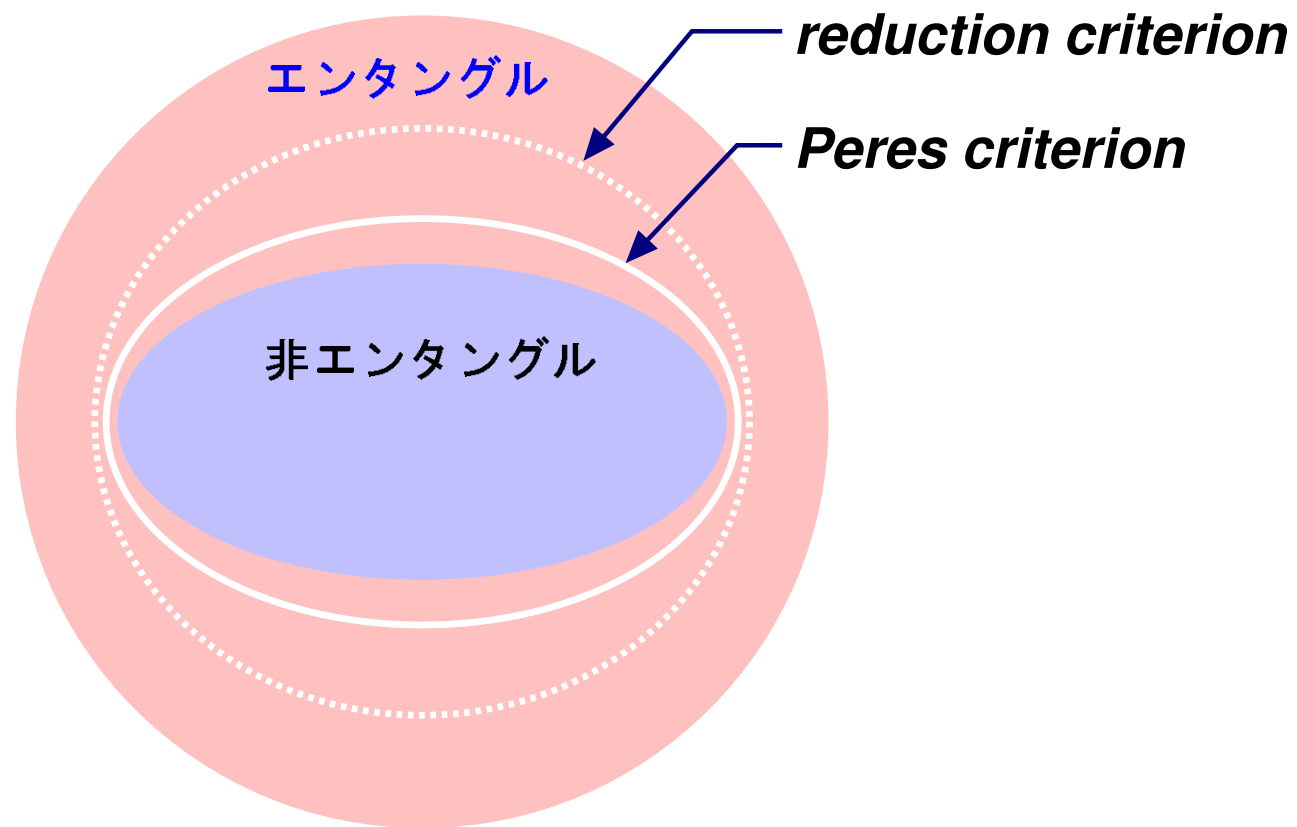
- 部分転置を取ると

$$\sigma_k^{TA} = \left[(A_k \otimes B_k)\sigma(A_k^\dagger \otimes B_k^\dagger) \right]^{TA} = (A_k^* \otimes B_k)\sigma^{TA}(A_k^T \otimes B_k^\dagger)$$

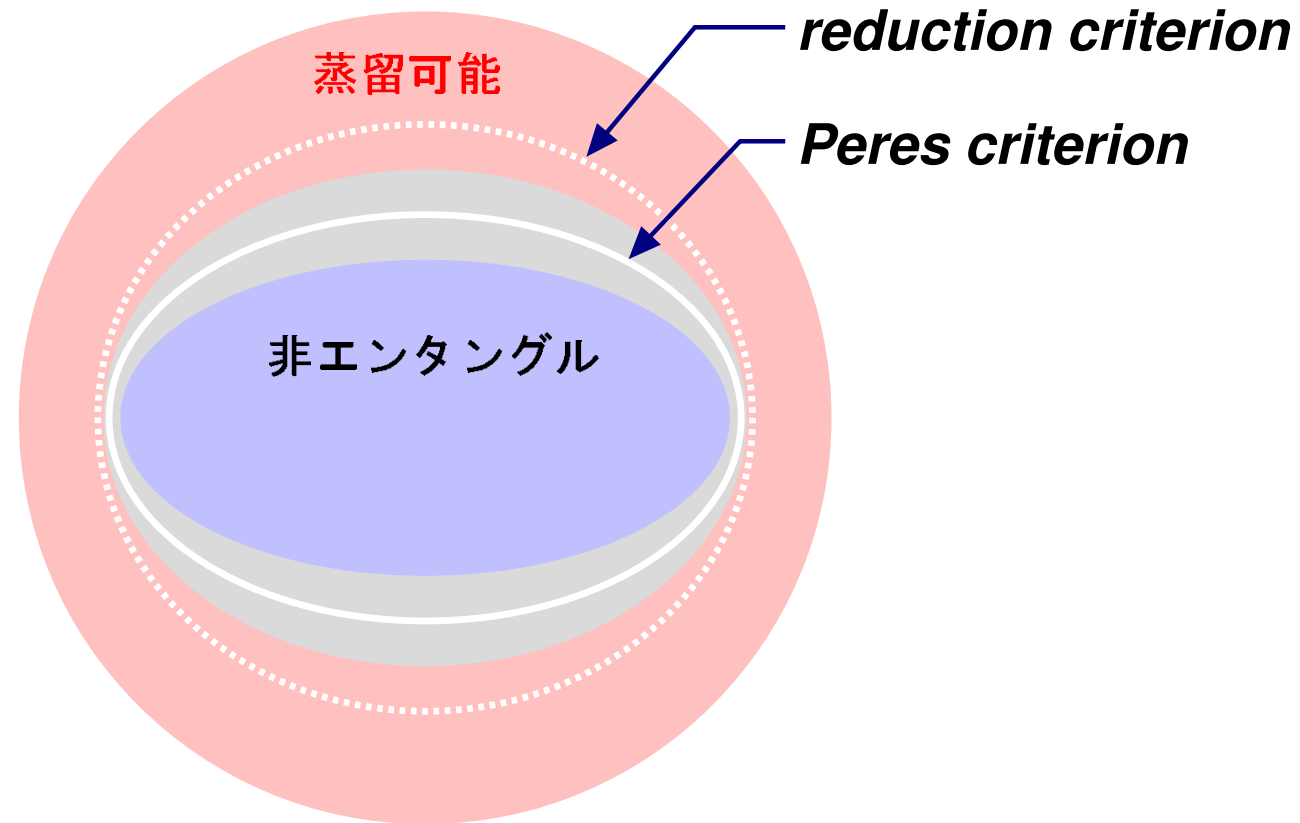
$$\sigma^{TA} \geq 0 \text{ のとき } \sigma_k^{TA} \geq 0$$

$(|\psi\rangle\langle\psi|)^{TA} \geq 0$ のエンタングルした純粋状態は無い

状態の分類



状態の分類

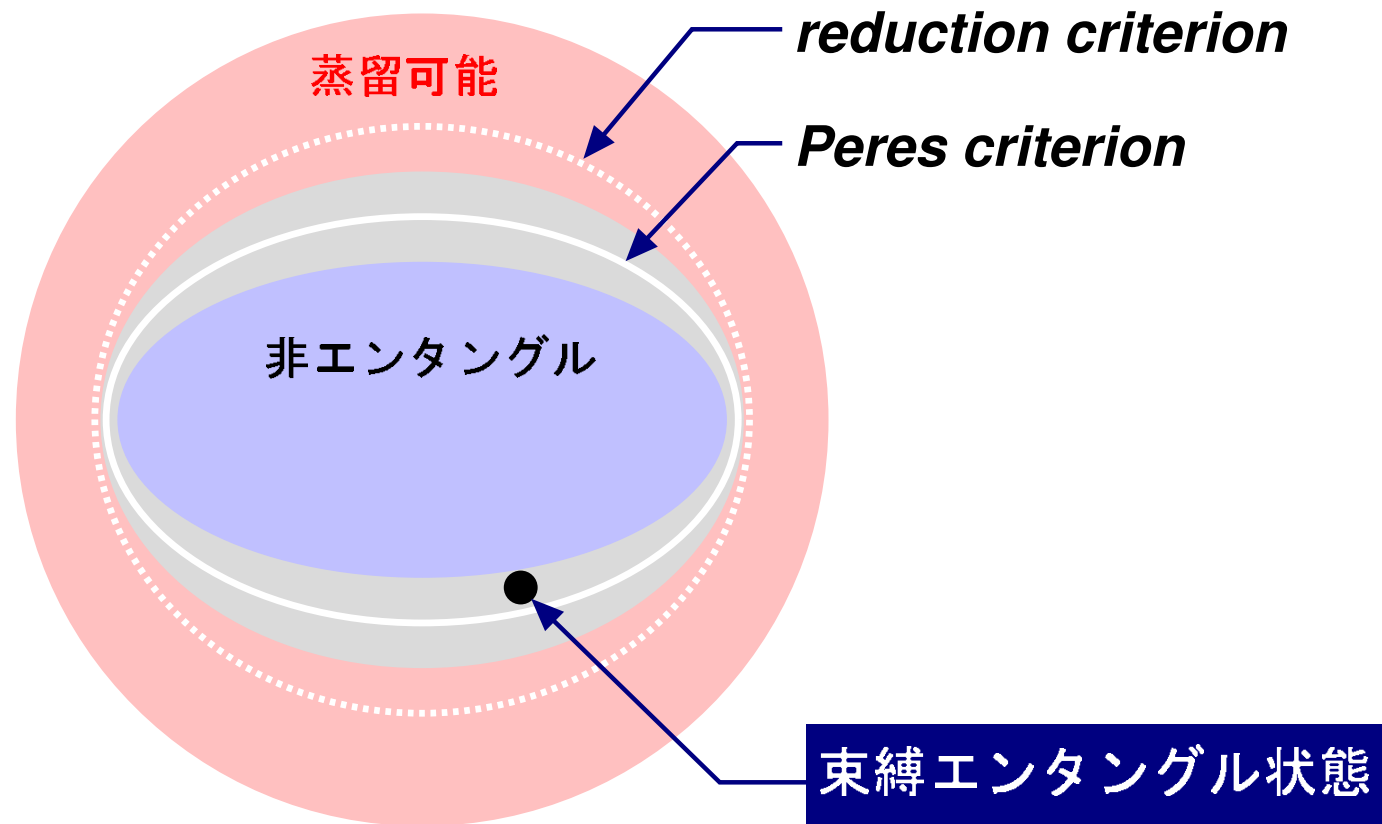


Peres criterion: $\sigma^{T_A} \geq 0 \Rightarrow \sigma_{AB}$ は蒸留不可能

Reduction criterion: $I_A \otimes \sigma_B - \sigma_{AB} \not\geq 0 \Rightarrow \sigma_{AB}$ は蒸留可能

$2 \otimes 2$ の系では全ての境界が一致

状態の分類



Peres criterion: $\sigma^{T_A} \geq 0 \Rightarrow \sigma_{AB}$ は蒸留不可能

Reduction criterion: $I_A \otimes \sigma_B - \sigma_{AB} \not\geq 0 \Rightarrow \sigma_{AB}$ は蒸留可能

$2 \otimes 2$ の系では全ての境界が一致

奇妙な量子状態

$$\text{EPR}^{\otimes n E_C} \longrightarrow \text{BE}^{\otimes n} \longrightarrow \cancel{\text{EPR}}^{\otimes n E_D}$$

束縛エンタングル状態 (BE) ... 束縛エンタングルメントしか持たない

自由エンタングル状態 (FE) ... 抽出可能 $E_D > 0$ [Horodecki, 1998]

- 活性化 [Horodecki, 1999] teleportation $f(\text{FE}) \not\rightarrow 1$, $f(\text{FE} \otimes \text{BE}) \rightarrow 1$
- アンロッキング (多者間) [Smolin, 2001]
- 超活性化 (超加法性 “ $0+0=1$ ”) [Shor, et.al., 2003]

$$0 = E_D(\text{BE}) + E_D(\text{BE}') < E_D(\text{BE} \otimes \text{BE}')$$

- テレクローニングの逆過程 [Murao, et.al., 2001]
- 量子鍵配布 [Horodecki, et.al., 2003]
- 異種エンタングルメントを変換 [SI, 2004]

6. 束縛エンタングルメント

隠れた非局所資源

束縛エンタングル状態の例

$$\sigma = \underbrace{\frac{2}{7} |\phi_3^+\rangle \langle \phi_3^+|}_{\text{エンタングル状態}} + \underbrace{\frac{\alpha}{7} \sigma_+ + \frac{5-\alpha}{7} \sigma_-}_{\text{非エンタングル状態 (noise)}}$$

$$|\phi_3^+\rangle = \frac{1}{\sqrt{3}} (|00\rangle + |11\rangle + |22\rangle)$$

$$\sigma_+ = \frac{1}{3} (|01\rangle \langle 01| + |12\rangle \langle 12| + |20\rangle \langle 20|)$$

$$\sigma_- = \frac{1}{3} (|10\rangle \langle 10| + |21\rangle \langle 21| + |02\rangle \langle 02|)$$

- $3 < \alpha \leq 4$ の時、束縛エンタングル状態 [Horodecki, 1999]

BE state:
$$\sigma = \frac{2}{7}|\phi_3^+\rangle\langle\phi_3^+| + \frac{\alpha}{7}\sigma_+ + \frac{5-\alpha}{7}\sigma_-$$

- Teleportation fidelity $\leq 1/3$ (classical limit)

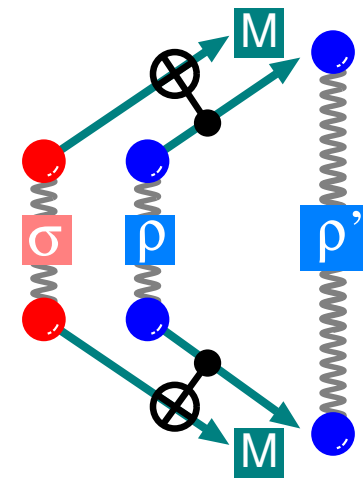
FE state:
$$\varrho = \beta|\phi_3^+\rangle\langle\phi_3^+| + (1-\beta)\sigma_+$$

- Teleportation fidelity $\leq f_0$ (threshold)

Recurrence like method:

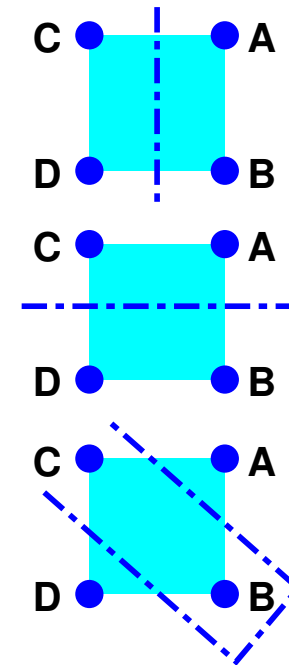
- bilocal CNOT & post selection

Teleportation fidelity of $\varrho' \rightarrow 1$



$$\begin{aligned} \sigma = \frac{1}{4} [& |\phi^+\rangle\langle\phi^+|_{AB} \otimes |\phi^+\rangle\langle\phi^+|_{CD} \\ & + |\phi^-\rangle\langle\phi^-|_{AB} \otimes |\phi^-\rangle\langle\phi^-|_{CD} \\ & + |\psi^+\rangle\langle\psi^+|_{AB} \otimes |\psi^+\rangle\langle\psi^+|_{CD} \\ & + |\psi^-\rangle\langle\psi^-|_{AB} \otimes |\psi^-\rangle\langle\psi^-|_{CD}] \end{aligned}$$

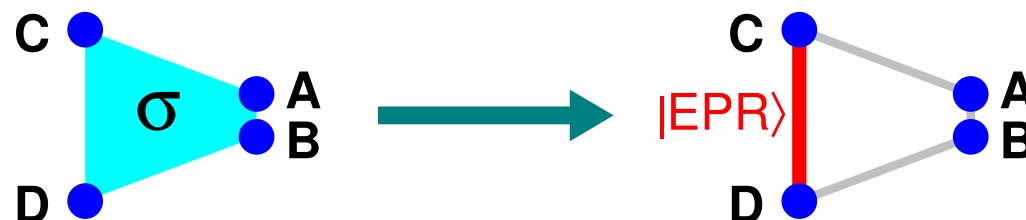
$$|\phi^\pm\rangle = \frac{|00\rangle \pm |11\rangle}{\sqrt{2}}, \quad |\psi^\pm\rangle = \frac{|01\rangle \pm |10\rangle}{\sqrt{2}}$$



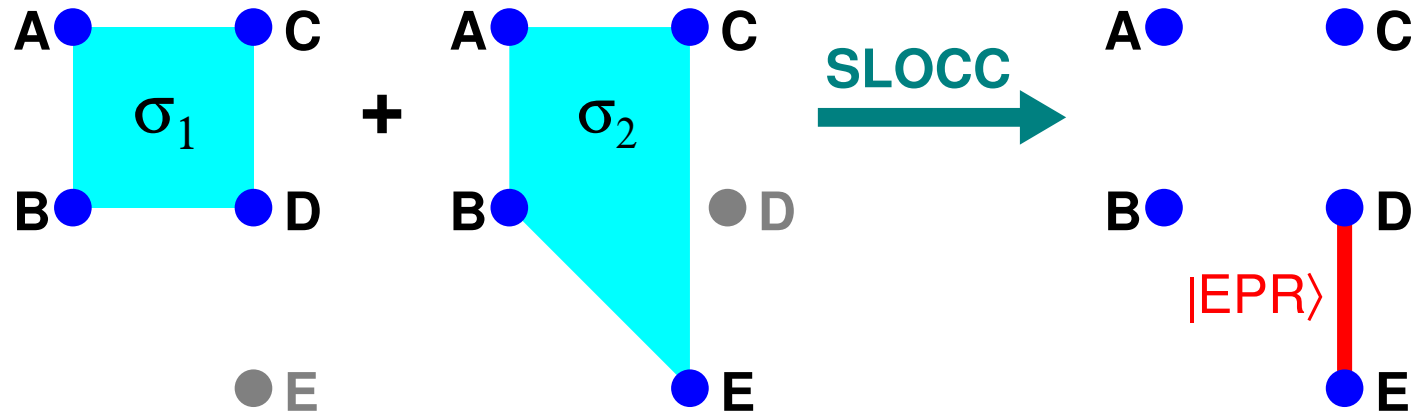
- σ はエンタングルメント蒸留不可能

(AB)-(CD), (AC)-(BD), (AD)-(BC) で見ると非エンタングル状態

- A と B が一緒になると $|EPR\rangle_{CD}$ が抽出できる (アンロッキング)



- アンロックカブル状態を 2 つ使うと



σ_1 を使い、 σ_2 の AC 量子ビットを BD にテレポート
 σ_2 は A と B が一緒になり、 $|\phi^+\rangle_{DE}$ を取り出せる

- 蒸留エンタングルメントは超加法的 “ $0+0=1$ ”

$$0 = \underbrace{D_{DE}(\sigma_1)}_0 + \underbrace{D_{DE}(\sigma_2)}_0 < D_{DE}(\sigma_1 \otimes \sigma_2) = 1$$

- 多者間の量子通信容量 Q_2 もまた超加法的

Experimental activation of BE

[F. Kaneda, R. Shimizu, SI, Y. Mitsumori, H. Kosaka, K. Edamatsu, 2012]

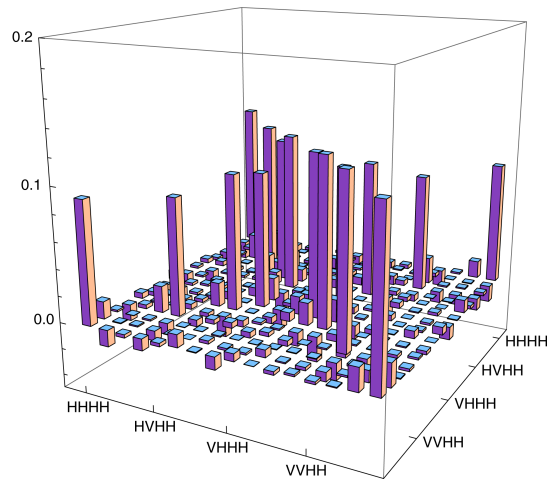
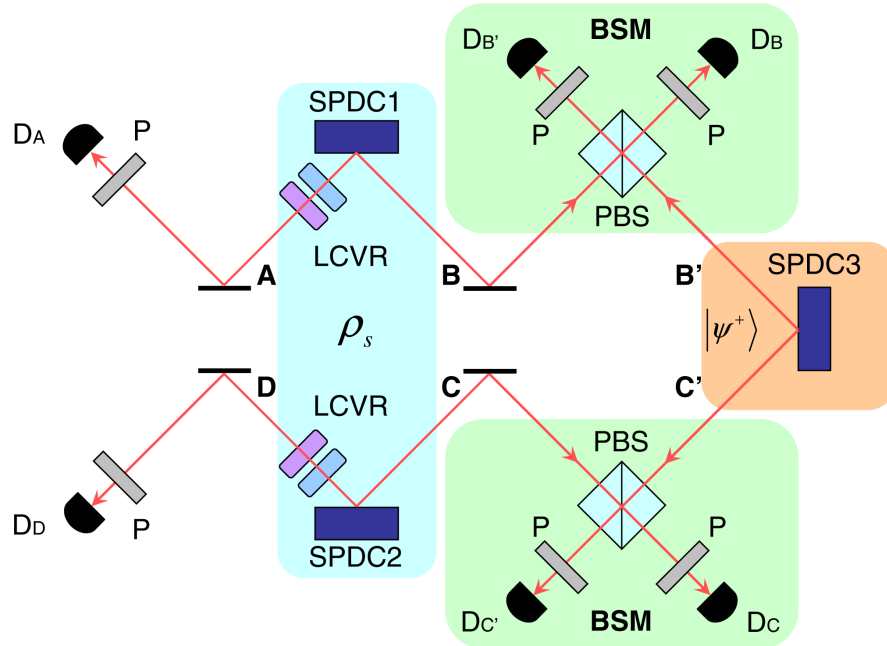


FIG. 3 (color online). Real part of the measured Smolin state ρ_s^{exp} .

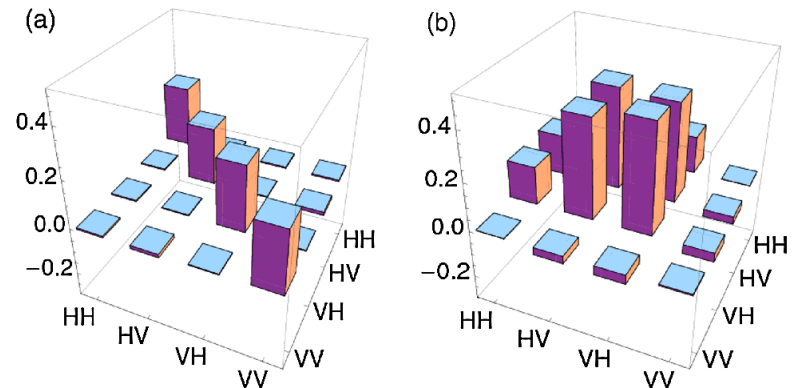
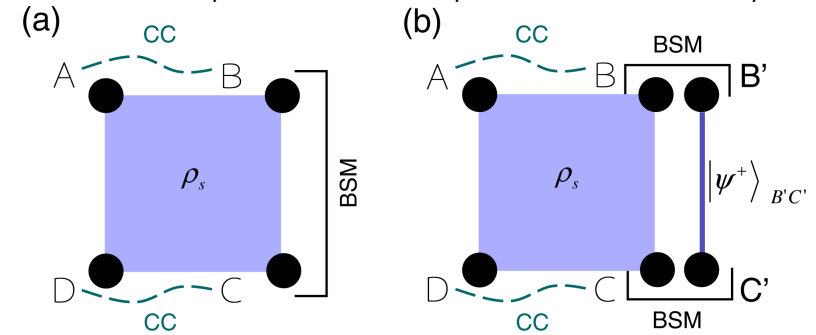


TABLE II. The values of the REE for the two-two bipartite cuts.

	ρ_s^{exp}	ρ_s	$\rho(\psi^+)$
$R_{AB CD}(\rho)$	≤ 0.033	0	0
$R_{AC BD}(\rho)$	≤ 0.080	0	2
$R_{AD BC}(\rho)$	≤ 0.073	0	2

$$D_{A|D}^b + R_{AD|BC}^b \leq 0.106$$

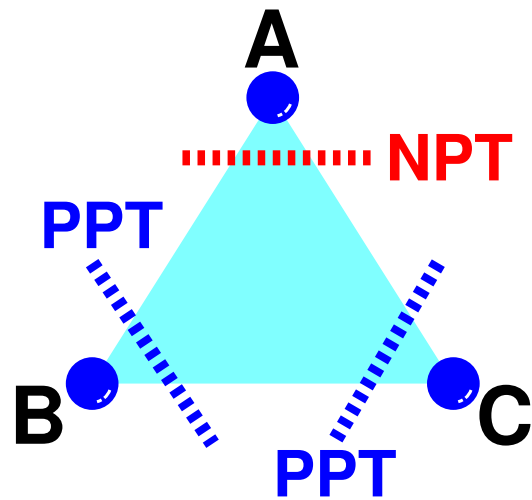
$$< 0.150 \leq D_{A|D}^a$$

Tripartite bound entanglement

$$\sigma = \frac{|\text{GHZ}\rangle\langle\text{GHZ}|}{3} + \frac{|001\rangle\langle 001| + |010\rangle\langle 010| + |101\rangle\langle 101| + |110\rangle\langle 110|}{6}$$

- Tripartite unlockable bound entanglement

[W. Dür, et. al., 1999]



$$\sigma^{T_B} \geq 0, \sigma^{T_C} \geq 0 \text{ but } \sigma^{T_A} \not\geq 0$$



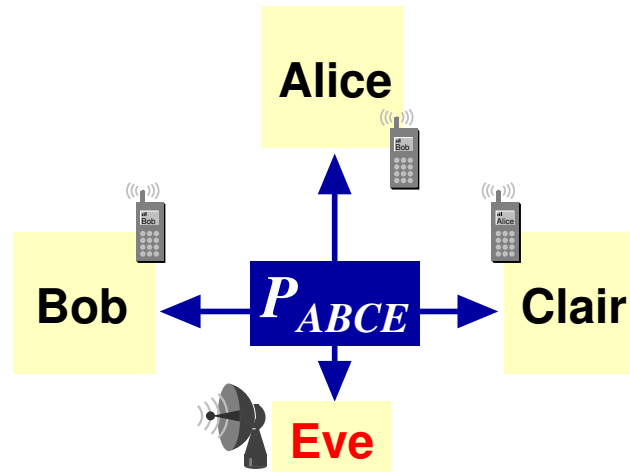
$$\sigma \text{ is entangled but } E_D = 0$$

$$\begin{aligned} \sigma^{T_A} \not\geq 0 \text{ (NPT)} &\Rightarrow \sigma \text{ is entangled with respect to } A \\ \sigma^{T_B} \geq 0 \text{ (PPT)} &\Rightarrow \sigma \text{ is undistillable with respect to } B \end{aligned}$$

Bound information exists

[A. Acín, J. I. Cirac, and L. Masanes, 2004]

A	B	C	E	P_{ABCE}
0	0	0	0	1/6
1	1	1	0	1/6
0	0	1	1	1/6
0	1	0	2	1/6
1	0	1	3	1/6
1	1	0	4	1/6



AB	C	\tilde{E}	$P_{ABC\tilde{E}}$
0	0	0	1/6
3	1	0	1/6
0	1	0	1/6
1	0	2	1/6
2	1	3	1/6
3	0	0	1/6

$$E \rightarrow \tilde{E} \begin{cases} 1 \rightarrow 0 \\ 4 \rightarrow 0 \end{cases}$$

$$I(AB:C|\tilde{E})=0, I(AC:B|\tilde{E})=0, \text{ but } I(A:BC|E) > 0$$



Secret key cannot be extracted by **LOPC** (local operation & public com)

but

P_{ABC} cannot be distributed by **LOPC**

7. エンタングルメント測度

E_C と E_D が違ってしまっても、定量化はどうする？

エンタングルメント測度

- E_D も E_C もエンタングルメント測度 … 計算は非常に困難

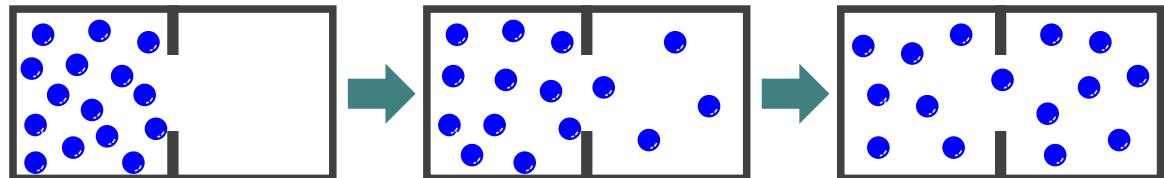
エンタングルメント測度が満たすべき条件

- (1) 単調性: 平均エンタングルメント量は LOCC で増加しない
- (2) ゼロ点: σ が非エンタングル状態の時 $E(\sigma) = 0$
- (3) 規格化: σ が 純粋状態の時 $E(\sigma) = S_A$
- (4) 凸性: 状態を混合するとエンタングルメント量は減少する

$$pE(\sigma_1) + (1-p)E(\sigma_2) \geq E(p\sigma_1 + (1-p)\sigma_2)$$

- エンタングルメント・モノトーン … 単調性のみを満たす量

c.f. 熱力学におけるエントロピー



生成エンタングルメント (EoF)

生成エンタングルメント [Bennett 1996]

$$E_F(\sigma) = \min \sum_k \lambda_k S_A(|\psi_k\rangle) \quad (\text{最小化は全ての } \sigma = \sum_k \lambda_k |\psi_k\rangle\langle\psi_k|)$$

(1) $\sigma = \sum_k \lambda_k |\psi_k\rangle\langle\psi_k|$ の分解を考える

(2) A と B は乱数 k を λ_k の確率で生成する

(3) 乱数の値 k に応じ、 $|\psi_k\rangle$ を $|EPR\rangle$ から LOCC で生成する

- 上記プロトコルで必要な $|EPR\rangle$ は $\sum_k \lambda_k S_A(|\psi_k\rangle)$
- σ の分解の仕方には曖昧さがある \rightarrow 最小化する \rightarrow 自動的に凸関数

- $E_C(\sigma) = \lim_{n \rightarrow \infty} \frac{E_F(\sigma^{\otimes n})}{n}$ が証明されている [Hayden, et.al., 2001]

生成エンタングルメント (EoF)

2 ⊗ 2 の生成エンタングルメント [Wootters 1998]:

(1) $\tilde{\sigma} = (\sigma_y \otimes \sigma_y) \sigma^* (\sigma_y \otimes \sigma_y)$ とする

(2) $\sigma \tilde{\sigma}$ の固有値を大きい順に $\{l_0^2, l_1^2, l_2^2, l_3^2\}$ とする

(3) $C = l_0 - l_1 - l_2 - l_3$ (コンカレンス)

(4) $E_F(\sigma) = S\left(\frac{1}{2} + \frac{1}{2}\sqrt{1 - C^2}\right)$

- tilde 操作: $|\tilde{\psi}\rangle = (\sigma_y \otimes \sigma_y) |\psi^*\rangle$

任意の最大エンタングル状態 $((U \otimes V)|EPR\rangle) \longrightarrow$ 不変

積状態 $|e\rangle|f\rangle \longrightarrow |e_\perp\rangle|f_\perp\rangle$

$$\because A^T \sigma_y A = (\det A) \sigma_y$$

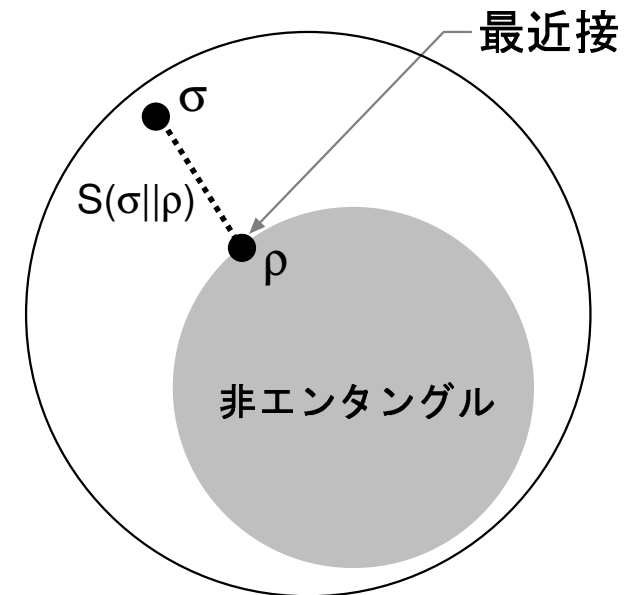
- 最大エンタングル状態で $C=1$, 非エンタングル状態で $C=0$

相対エントロピー・エンタングルメント

Relative entropy of entanglement

[Vedral, et.al., 1997]:

$$\begin{aligned} E_R(\sigma) &= \min_{\rho} S(\sigma||\rho) \\ &= \min_{\rho} \left[\text{tr} \sigma \log \sigma - \text{tr} \sigma \log \rho \right] \end{aligned}$$



- 相対エントロピーは状態間距離の様なもの

幾何学的エンタングルメント測度

- 多者系への拡張が容易
- 様々な測度 (discord 等) への適用が可能

漸近変換の可逆性が定量化にとって本質的に重要

$$|\psi\rangle^{\otimes n} \longleftrightarrow |\text{EPR}\rangle^{\otimes n} S_A$$

- エンタングルメント測度 E が単調性と連続性を満たすとすると...

→ から $E(|\psi\rangle^{\otimes n}) \geq E(|\text{EPR}\rangle^{\otimes n} S_A)$

← から $E(|\psi\rangle^{\otimes n}) \leq E(|\text{EPR}\rangle^{\otimes n} S_A)$

$$\therefore E(|\psi\rangle^{\otimes n}) = E(|\text{EPR}\rangle^{\otimes n} S_A)$$

- 更に弱い加法性を満たすと...

$$E(|\psi\rangle^{\otimes n}) = n \cdot E(|\psi\rangle)$$

$$\therefore E(|\psi\rangle) = S_A \cdot E(|\text{EPR}\rangle) = S_A$$

単調性、連続性、弱い加法性を満たすエンタングルメント測度は、
 純粋状態に対して S_A に一致する

エンタングルメント測度 E が

(1) 単調性、(2) 凸性、(3) 弱い加法性、(4) 連続性の条件を満たす時

$$E_D(\sigma) \leq E(\sigma) \leq E_C(\sigma)$$

(1),(3),(4) \rightarrow (5) 一義性定理

$$E(\sigma) \stackrel{(3)}{=} \frac{E(\sigma^{\otimes n})}{n} \stackrel{(2)}{\leq} \frac{\sum_i p_i E(|\psi_i\rangle)}{n} \stackrel{(5)}{=} \frac{\sum_i p_i E_F(|\psi_i\rangle)}{n} = \frac{E_F(\rho^{\otimes n})}{n} = E_C(\sigma)$$

$$E(\sigma) \stackrel{(3)}{=} \frac{E(\sigma^{\otimes n})}{n} \stackrel{(1)}{\geq} \frac{\sum_i p_i E(\sigma_i)}{n} \stackrel{\text{distill}}{=} \frac{\sum_i p_i E(|\text{EPR}\rangle^{\otimes m_i})}{n} = E_D(\sigma)$$

計算容易なエンタングルメント・モノトーン

(1) コンカレンス [Wootters, 1998]

(2) 対数ネガティビティ

... Peres 判定法における負の固有値の絶対値の和

$$LN(\sigma) = \log_2 \text{tr}|\sigma^{T_A}|$$

$\sigma^{T_A} \geq 0$ のとき

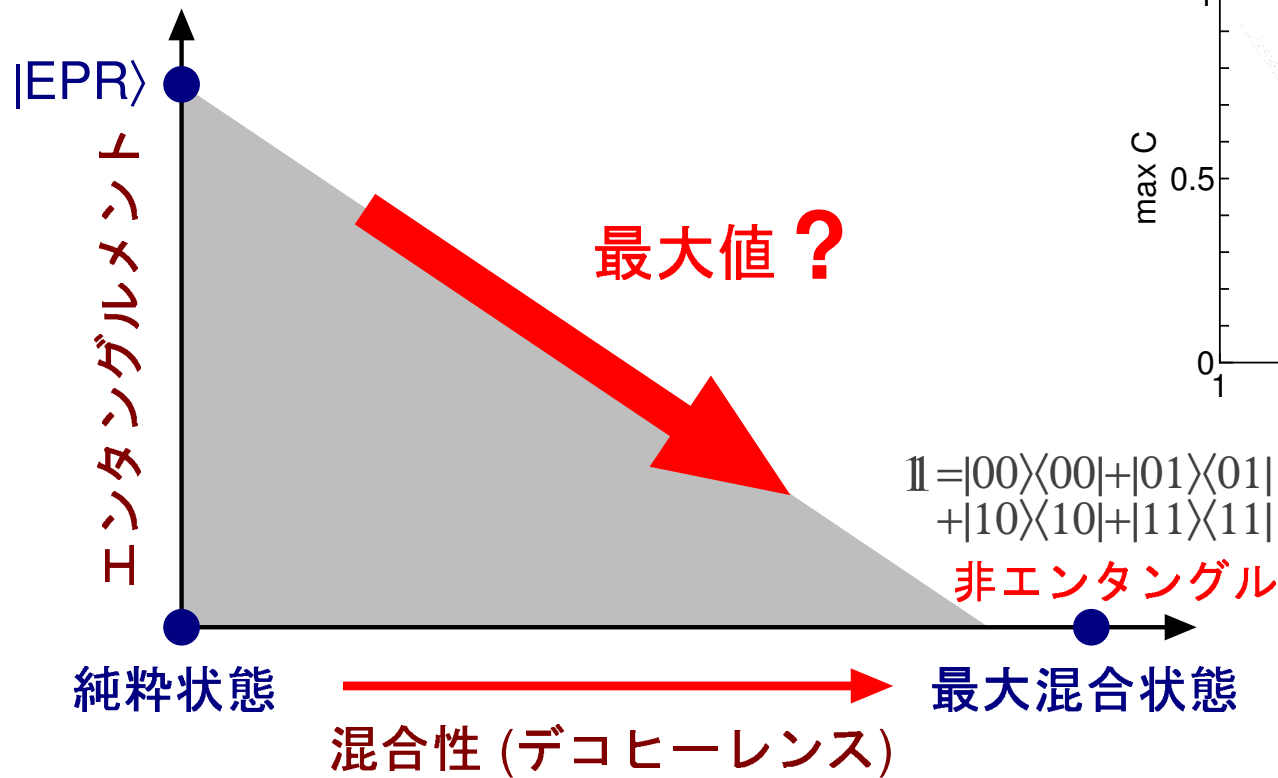
$$\text{tr}|\sigma^{T_A}| = \text{tr}\sigma^{T_A} = \text{tr}\sigma = 1 \quad \longrightarrow \quad LN(\sigma) = 0$$

- LOCC+BE 操作における生成コスト

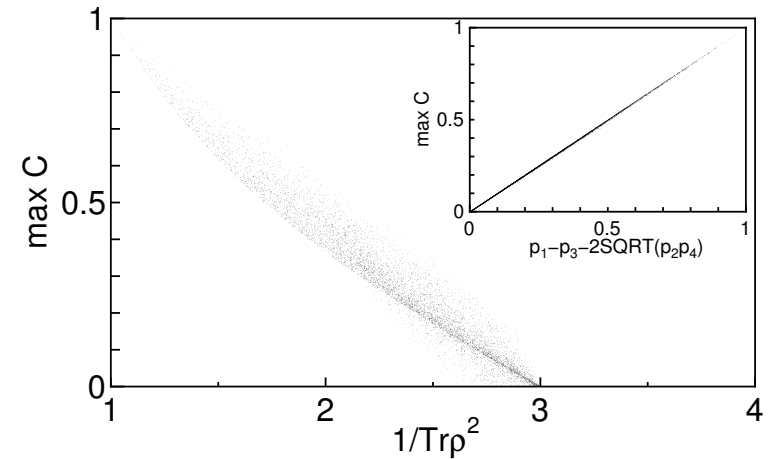
[Audenaert, et.al., 2003] [SI, 2004]

- E_D の上限を与える ($E_D(\sigma) \leq LN(\sigma)$)

混合性とエンタングルメント量



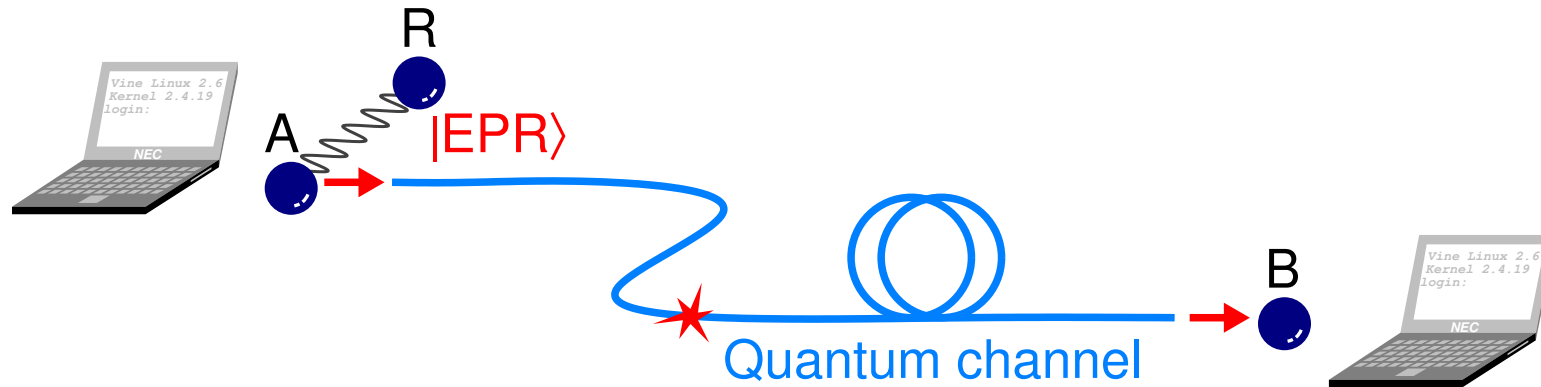
コンカレンス vs 混合性



$$\sigma = p_1 |\phi^+\rangle\langle\phi^+| + p_2 |01\rangle\langle 01| + p_3 |\phi^-\rangle\langle\phi^-| + p_4 |10\rangle\langle 10|$$

$$p_1 \geq p_2 \geq p_3 \geq p_4, \quad |\phi^\pm\rangle = \frac{1}{\sqrt{2}} (|00\rangle \pm |11\rangle)$$

エンタングルメント理論と応用



- 量子通信容量: $Q \leq Q_{2\text{-way}} = 0 \iff E_D(\sigma_{RB}) = 0$
- 古典通信容量: C の超加法性 $\iff E_F$ の超加法性

[K. Matsumoto, et.al., 2004]

C も Q も超加法的 [M. B. Hastings, 2009] [G. Smith, et.al., 2008]

通信容量・通信符号
量子暗号デザイン・ルール } ← エンタングルメントの定量理論

8. 多者間のエンタングルメント

A と B と C の間のエンタングルメント
~ クラス分類と定量化 ~

3 量子ビットのエンタングルメント

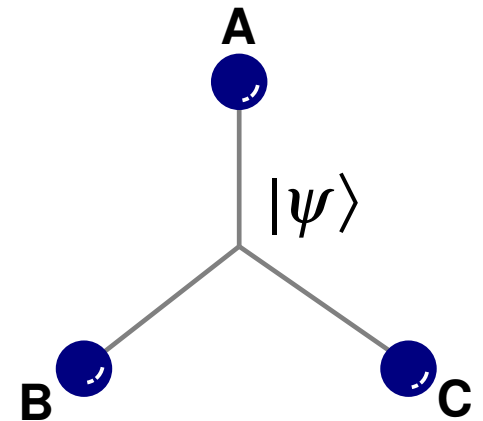
- GHZ 状態

$$|\text{GHZ}\rangle = \frac{1}{\sqrt{2}} \left(|0\rangle_A |0\rangle_B |0\rangle_C + |1\rangle_A |1\rangle_B |1\rangle_C \right)$$

- どの2つペアもエンタングルしていない

$$\sigma_{AB} = \sigma_{BC} = \sigma_{AC} = \frac{1}{2} |00\rangle\langle 00| + \frac{1}{2} |11\rangle\langle 11|$$

$$\begin{aligned} |\text{GHZ}\rangle_{ABC} &= \frac{1}{\sqrt{2}} \left(\frac{|00\rangle_{AB} + |11\rangle_{AB}}{\sqrt{2}} \otimes \frac{|0\rangle_C + |1\rangle_C}{\sqrt{2}} \right. \\ &\quad \left. + \frac{|00\rangle_{AB} - |11\rangle_{AB}}{\sqrt{2}} \otimes \frac{|0\rangle_C - |1\rangle_C}{\sqrt{2}} \right) \end{aligned}$$



C が $(|0\rangle \pm |1\rangle)/\sqrt{2}$ の基底で測定を行い、A (あるいは B) に測定結果を伝えてやると、A と B の間の状態をエンタングルさせる事ができる

2 者間よりはるかに複雑

エンタングルメントの一夫一妻制

- シュミットの分解定理は適用できない

3 量子ビットの正準型 [Carteret 2000, Acin 2000]

3 量子ビットの任意の純粋状態は局所ユニタリ変換で

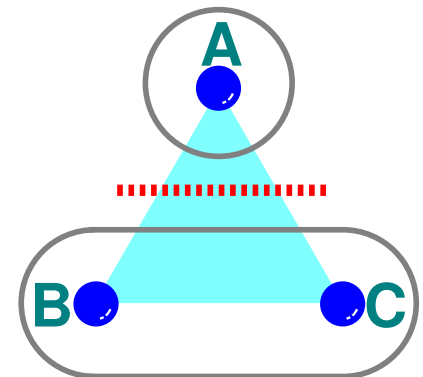
$$|\psi\rangle = \lambda_0 e^{i\phi} |000\rangle + \lambda_1 |011\rangle + \lambda_2 |101\rangle + \lambda_3 |110\rangle + \lambda_4 |111\rangle$$

の形に変換できる ($\lambda_i \geq 0$, $\phi \in [0, \pi]$, $\sum_i \lambda_i^2 = 1$)。

コンカレンスの関係式 (エンタングルメントの分配則) ... 一夫一妻制

$$C_{A-BC}^2 = C_{AB}^2 + C_{AC}^2 + \tau$$

- τ ... タングル (3-エンタングルメントの指標)
- GHZ 状態に対しては $\tau = 1$
- 量子暗号の安全性証明



W 状態

- W 状態

$$|W\rangle = \frac{1}{\sqrt{3}} \left(|001\rangle + |010\rangle + |100\rangle \right)$$

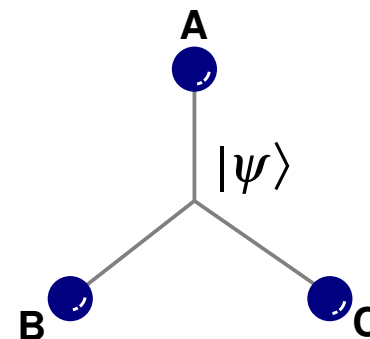
- W 状態はエンタングルメントの分配則より $\tau = 0$

$$\sigma_{AB} = \frac{2}{3} |\psi^+\rangle\langle\psi^+| + \frac{1}{3} |00\rangle\langle 00| \rightarrow C_{AB}^2 = \frac{4}{9}$$

$$\sigma_A = \frac{2}{3} |0\rangle\langle 0| + \frac{1}{3} |1\rangle\langle 1| \rightarrow C_{A-BC} = \frac{8}{9}$$

- 2 量子ビット間のエンタングルメントを等しく最大にした状態

$$C_{A-BC}^2 = C_{AB}^2 + C_{AC}^2 + \tau$$



確率的 LOCC (SLOCC)

- 純粋状態間の LOCC 変換: $|\psi\rangle \xrightarrow{\text{LOCC}} |\phi\rangle$

$$|\phi\rangle\langle\phi| = \sum_k (A_k \otimes B_k) |\psi\rangle\langle\psi| (A_k^\dagger \otimes B_k^\dagger)$$

- $|\psi\rangle \xrightarrow{\text{SLOCC}} |\phi\rangle$ が可能な条件

$|\phi\rangle = (A \otimes B)|\psi\rangle$ となる A, B が存在

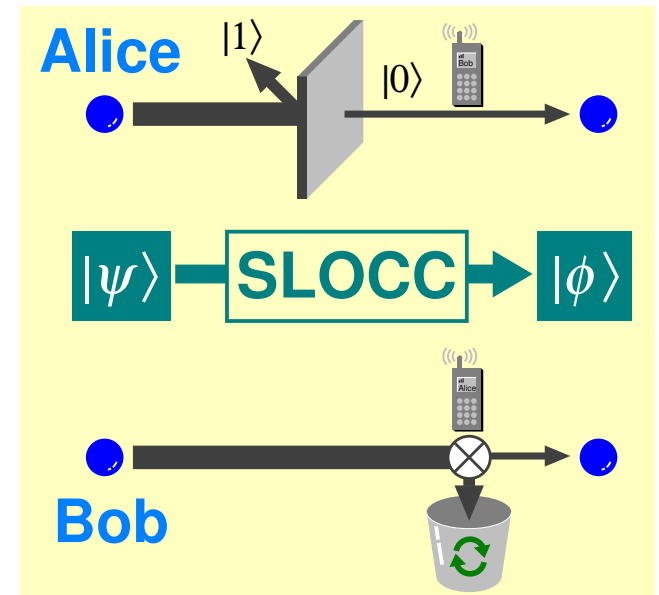
... 確率的 LOCC

$$|\psi\rangle = \sqrt{\frac{1}{3}}|00\rangle + \sqrt{\frac{2}{3}}|11\rangle$$

$$\left[\begin{pmatrix} 1 & \\ & \frac{1}{\sqrt{2}} \end{pmatrix} \otimes I \right] |\psi\rangle = \sqrt{\frac{2}{3}} \sqrt{\frac{1}{2}} (|00\rangle + |11\rangle)$$

確率 $2/3$ で $|\psi\rangle$ から $|EPR\rangle$ へ変換可能

確率的にはエンタングルメントを増やせる
エンタングルメントの平均量は増やせない



確率的 LOCC による変換性

$|\psi\rangle \leftarrow \boxed{\text{SLOCC}} \rightarrow |\phi\rangle \quad \dots \quad |\psi\rangle \text{ と } |\phi\rangle \text{ は互換 (comparable)}$

- $|\phi\rangle = (A \otimes I)|\psi\rangle$ のとき

$$\sigma_A^\phi = A\sigma_A^\psi A^\dagger \text{ より } \text{rank}(\sigma_A^\phi) \leq \text{rank}(\sigma_A^\psi)$$

- このとき、純粋状態では $\text{rank}(\sigma_A) = \text{rank}(\sigma_B)$ なので

$$\text{rank}(\sigma_B^\phi) \leq \text{rank}(\sigma_B^\psi)$$

SLOCC では縮約密度行列の階数は上がらない

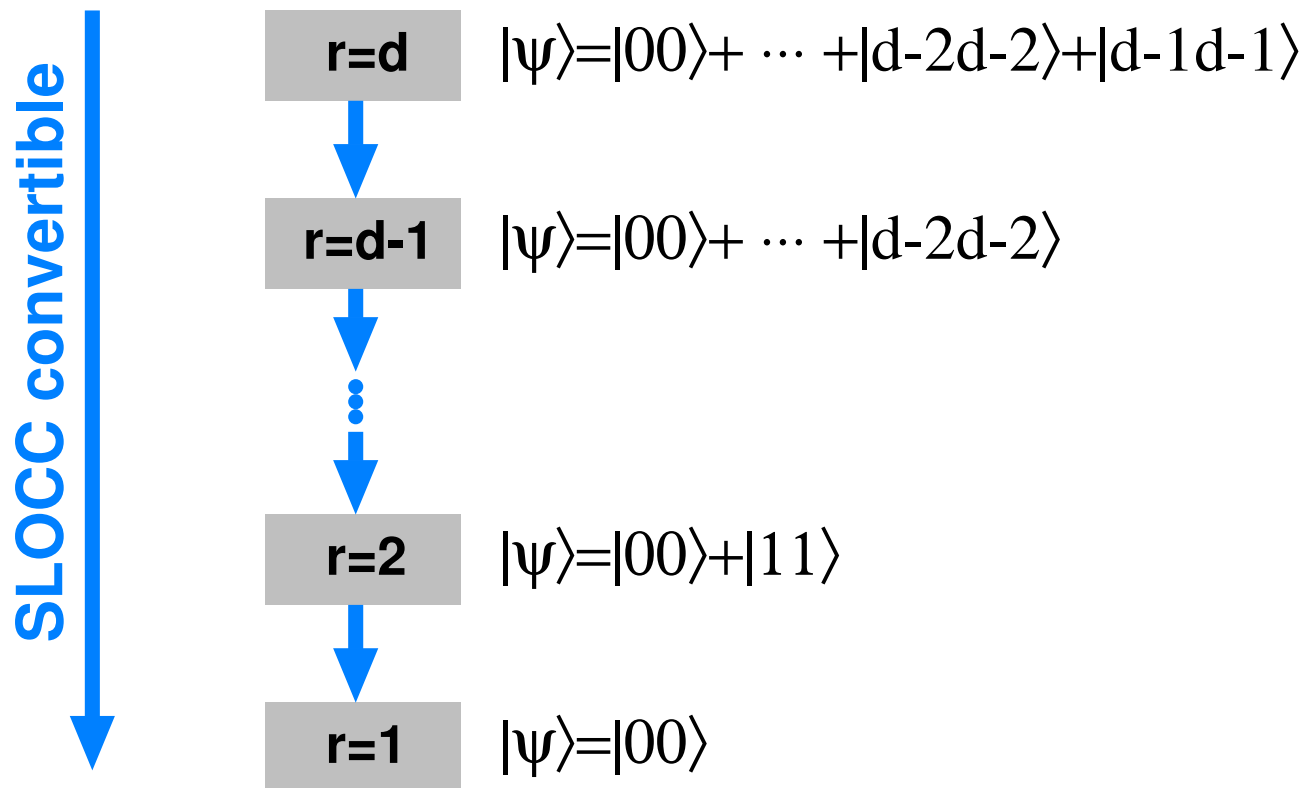
- $|\psi\rangle$ と $|\phi\rangle$ が互換なら、 $|\psi\rangle \rightarrow |\phi\rangle$ かつ $|\phi\rangle \rightarrow |\psi\rangle$

対応する縮約密度行列の階数は等しい

確率的 LOCC によるエンタングルメントの分類

- 2 者間エンタングルメントのクラス分類

$\text{rank}(\sigma_A) = 1$ から $\text{rank}(\sigma_A) = d \cdots d$ 個のクラス



[Lo and Popescu, Nielsen, Vidal]

3 者間エンタングルメントのクラス分類

[Dür, et.al., 2000]

(1) $\text{rank}(\sigma_A) = \text{rank}(\sigma_B) = \text{rank}(\sigma_C) = 1$

クラス A-B-C $|A-B-C\rangle = |000\rangle$

(2) $\text{rank}(\sigma_A) = 1, \text{rank}(\sigma_B) = \text{rank}(\sigma_C) = 2$

クラス A-BC, B-AC, C-AB $|A-BC\rangle = |0\rangle_A \otimes |EPR\rangle_{BC}$

(3) $\text{rank}(\sigma_A) = \text{rank}(\sigma_B) = \text{rank}(\sigma_C) = 2$

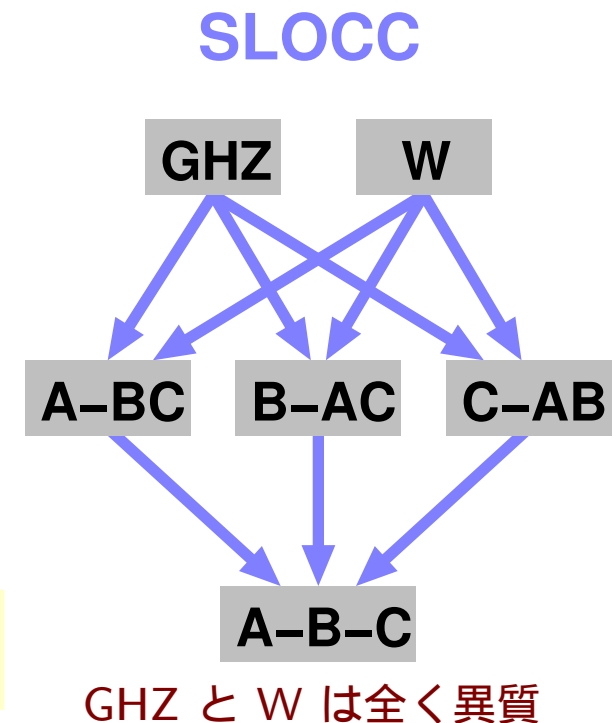
直積状態での最小展開項数は増やせない

(3-A) 最小展開項数 = 2

クラス GHZ $|GHZ\rangle = \frac{1}{\sqrt{2}}(|000\rangle + |111\rangle)$

(3-B) 最小展開項数 = 3

クラス W $|W\rangle = \frac{1}{\sqrt{3}}(|001\rangle + |010\rangle + |100\rangle)$



定量化

- 2 者間における漸近変換の可逆性 → エンタングルメントの定量化

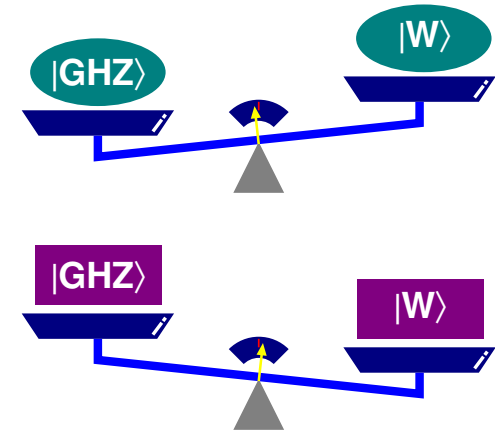
$$|\psi\rangle^{\otimes n} \xleftrightarrow{\text{LOCC}} |\text{EPR}\rangle^{\otimes n} S_A$$

単調性、連続性、弱い加法性 → 一義性定理

- $|\text{GHZ}\rangle$ と $|\text{W}\rangle$ は、どちらが強くエンタングルしているか？

$$S_A(\text{GHZ}) = 1 > \log 3 - \frac{2}{3} = S_A(\text{W})$$

$$E_R^\infty(\text{GHZ}) = 1 < \log \frac{9}{4} = E_R^\infty(\text{W})$$



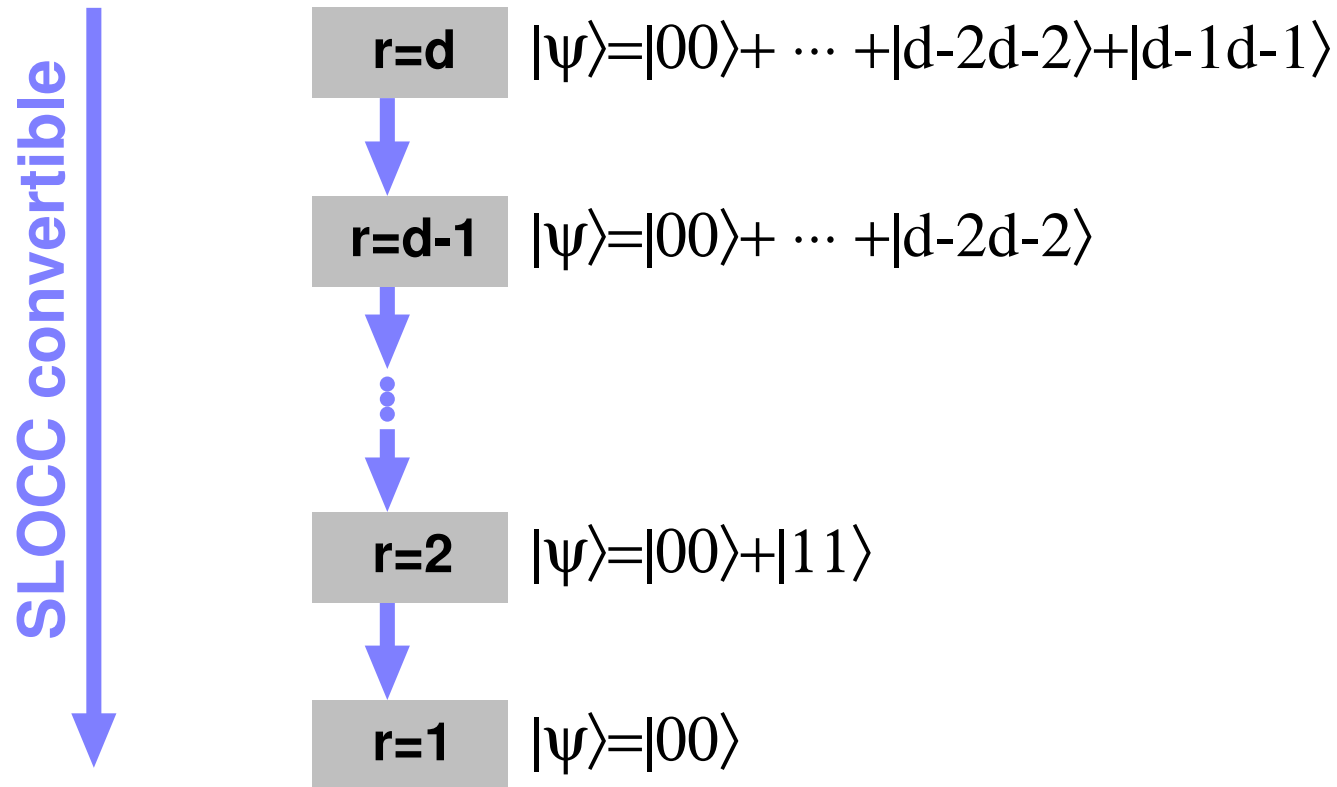
$$|\text{GHZ}\rangle^{\otimes n} \not\xleftrightarrow{\text{LOCC}} |\text{W}\rangle^{\otimes n} E$$

[SI, et.al., 2005] [H. Zhu, et.al., 2010]

多者間エンタングルメントの「基本単位」は一つではない

クラス分類と束縛エンタングルメント

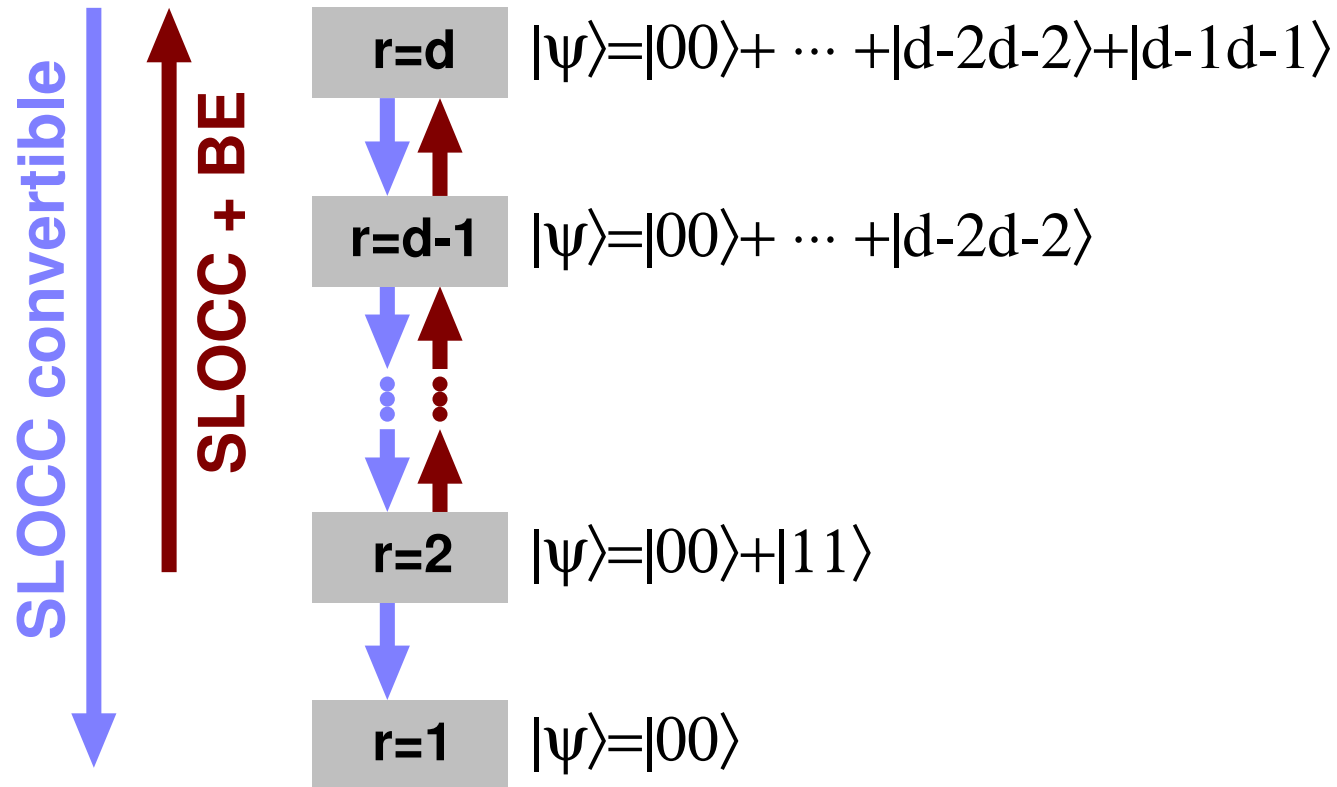
-



クラス分類と束縛エンタングルメント

- 束縛エンタングルメントがクラス分類を劇的に単純化する

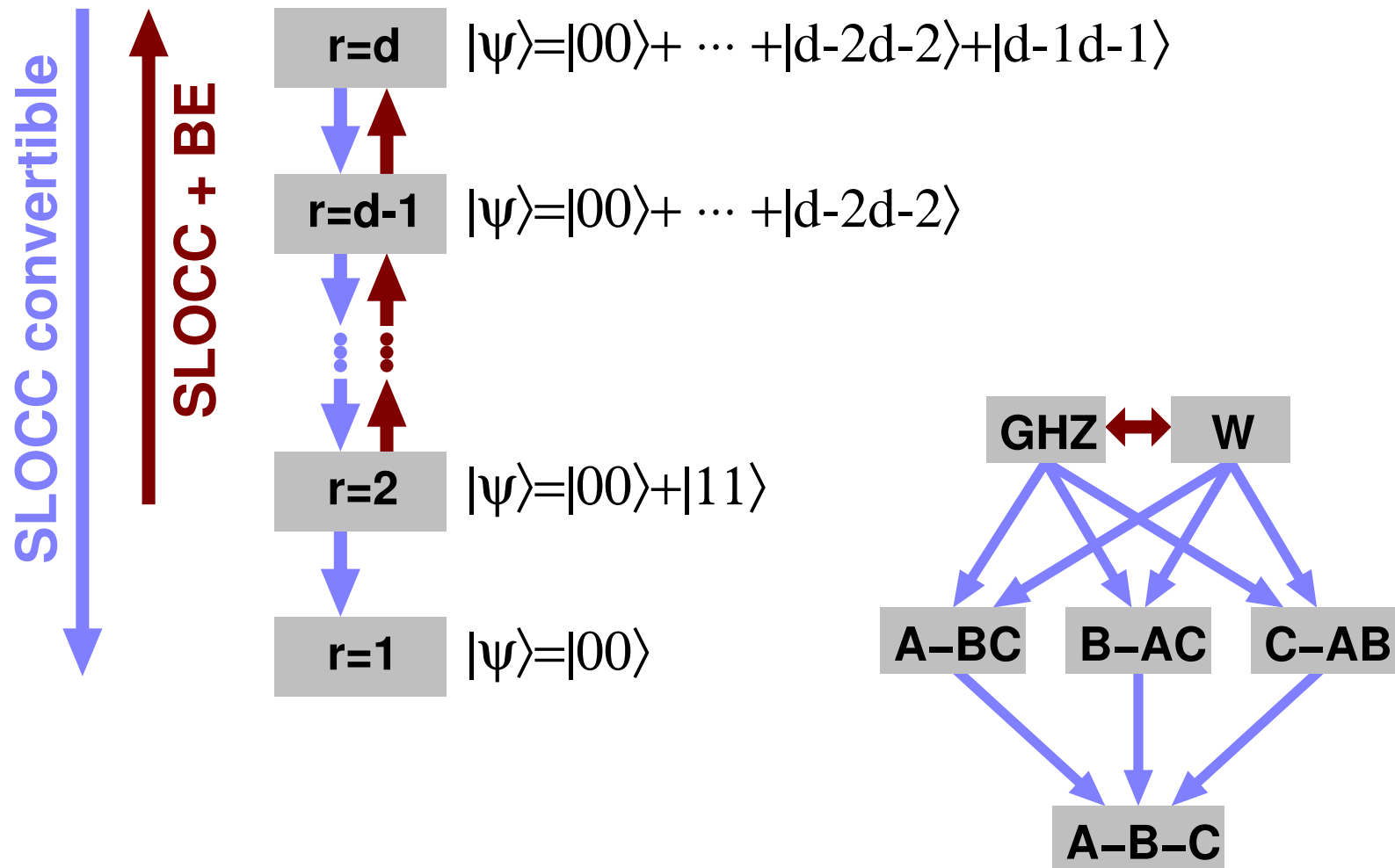
[SI 2004]



クラス分類と束縛エンタングルメント

- 束縛エンタングルメントがクラス分類を劇的に単純化する

[SI 2004]



Summary

- 純粋状態の LOCC 変換は可逆 ... エンタングルメントの定量化
エンタングルメントの濃縮と希釈
- 混合状態も含めた一般状態のエンタングルメントの定義と判定
Peres の判定法、縮約判定法、entanglement witness
- 混合状態の LOCC 変換は非可逆 ... 束縛エンタングルメント
BE 状態に関する様々な興味深い現象 (活性化・超活性化)
- エンタングルメント測度
コンカレンス、対数ネガティビティ
混合性とエンタングルメント
- 多者間エンタングルメントの特異性
異種エンタングルメントの存在
基本単位は一つではない